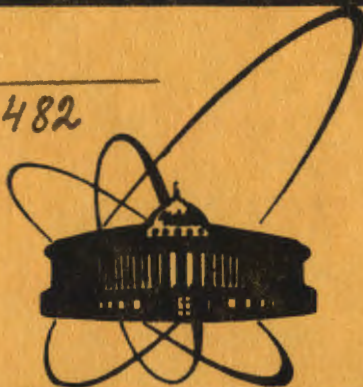


86-811

С-482



сообщения  
объединенного  
института  
ядерных  
исследований  
дубна

P1-86-811 *e+*

Б.Словинский, Д.Чижевска<sup>1</sup>, Г.Енджеец<sup>2</sup>,  
Р.Висьневский<sup>3</sup>

ФЛУКТУАЦИИ ИОНИЗАЦИОННЫХ ПОТЕРЬ  
В ЭЛЕКТРОННО-ФОТОННЫХ ЛИВНЯХ,  
ВЫЗВАННЫХ ГАММА-КВАНТАМИ  
С ЭНЕРГИЕЙ  $E_{\gamma} = 200 \div 3500$  МэВ

<sup>1</sup> Институт ядерных проблем, Варшава

<sup>2</sup> Институт атомной энергии, Варшава

<sup>3</sup> Институт физики Варшавского политехнического  
института

1986

## 1. ВВЕДЕНИЕ

Стохастический характер элементарных процессов, из которых состоит электронно-фотонный ливень /ЭФЛ/, вызванный гамма-квантом /ГК/ достаточно высоких энергий ( $E_y \geq 100$  МэВ), приводит к значительным флуктуациям большинства его характеристик: числа частиц и ионизационных потерь в данном элементе объема, угловых характеристик, пространственных размеров и др. Главная причина этих флуктуаций сводится к тому, что высокоэнергетические электроны теряют большую часть своей энергии на излучение небольшого числа ГК с энергиями, сравнимыми с энергиями излучаемой частицы.

При детектировании ГК по создаваемым ими ливням флуктуации характеристик ЭФЛ являются основным источником ошибок в определении энергии ГК. Дело в том, что из-за флуктуаций продольных и поперечных размеров ЭФЛ, а также длины конверсии ГК, образовавшего лавину, в детекторе конечных размеров выделяется лишь часть полной энергии ливня, по которой требуется восстановить энергию первичного ГК. Задача существенно усложняется, когда нет возможности воспользоваться дополнительными сведениями об источнике регистрируемых ГК /как, например, в случае распада  $\pi^+ \rightarrow 2\gamma$  или  $\eta \rightarrow 2\gamma$ / или невозможны калибровочные измерения. Дополнительные методические трудности возникают при регистрации двух и более ГК одновременно, когда создаваемые ими ливни частично перекрываются.

В настоящей работе проведено исследование флуктуаций ионизационных потерь ливневых электронов и позитронов /далее: электронов/ в ЭФЛ, созданных ГК с энергией  $E_y = 200 \div 3500$  МэВ в жидком ксеноне. Экспериментальный материал был получен на снимках 180 л ксеноновой пузырьковой камеры /далее: КПК/ ИТЭФ /Москва/, облученной  $\pi^-$ -мезонами с импульсом 3,5 ГэВ/с.

Методика КПК дает возможность детально проследить и измерить пробеги ливневых электронов в плоскости снимка. Кроме этого, размеры 180 л КПК ИТЭФ достаточно велики /25,7 × 11 × 10 рад.ед.<sup>3</sup>/, что позволяет изучать структуру ливней до энергии  $E_y \leq 4$  ГэВ /2/.

## 2. ЭКСПЕРИМЕНТАЛЬНЫЙ МАТЕРИАЛ

При просмотре снимков 180 л КПК ИТЭФ было отобрано 416 случаев ЭФЛ, вызванных ГК с энергиями  $E_y$ , значения которых указаны в таблице. Критерии просмотра обеспечивали такой выбор ливней, чтобы возможные искажения, обусловленные конечными размерами де-

Таблица

Числа  $N_\gamma$  отобранных случаев ливней и числа  $N_\gamma^*$  тех из них, которые удовлетворяют условию /2/.  $t_{\max}^*(E_\gamma)$  – максимальная для данной выборки наблюдаемая длина развития ливня, вызванного гамма-квантом с энергией  $E_\gamma$

$E_\gamma$ /МэВ/	210 +20	310 +30	555 +55	1125 +125	2125 +125	3375 +125
$N_\gamma$	35	36	97	158	52	38
$N_\gamma^*$	33	32	49	75	20	8
$t_{\max}^*(E_\gamma)$ /рад.ед./	12	16	20	20	21	24

тектора, были минимальны. С этой целью для каждого ливня измерялись: 1/ суммарная длина  $\Sigma r$  пробегов ливневых электронов в плоскости проекции; 2/ максимальная наблюдаемая на снимке длина /или, что то же самое, глубина/ развития ливня,  $t_{\max}$ , отсчитываемая от точки конверсии первичного ГК, вдоль направления его импульса /далее: ось развития ливня - ОР/; 3/ потенциальная длина развития ЭФЛ,  $L_{\text{pot}}$ , т.е. расстояние от точки конверсии первичного ГК до точки пересечения ОР со стенкой камеры. Энергия  $E_\gamma$  ГК, инициирующего ливень, определялась по формуле

$$E_\gamma = \alpha \cdot \Sigma R, \quad /1/$$

где  $\alpha = 0,59 \pm 0,02$  МэВ/мм<sup>3,4/</sup>. Суммарный пробег электронов лавины  $\Sigma R$  пропорционален  $\Sigma r$ , причем коэффициент пропорциональности одинаков для всех случаев ЭФЛ, так как, согласно критериям прошома, ОР лежит в плоскости снимка. Минимальная различаемая на снимке длина следов ливневых электронов заключена в интервале 1÷3 мм, что эквивалентно пороговой энергии их регистрации, равной  $E_0 = 0 \div 1,5$  МэВ. Для каждой выборки случаев ЭФЛ, соответствующей данному интервалу значений  $E_\gamma$ , определялась максимальная для этой выборки величина  $t_{\max}^*(E_\gamma)$ . В дальнейшем анализировались лишь те случаи ЭФЛ, которые удовлетворяют условию:

$$L_{\text{pot}} \geq t_{\max}^*(E_\gamma). \quad /2/$$

Считая первоначальные выборки событий случайными и достаточно репрезентативными, можно утверждать, что на выборках тех случаев ЭФЛ, для которых выполняется соотношение /2/, конечные размеры КПК практически не сказываются. Числа  $N_\gamma$  всех отобранных собы-

тий и числа  $N_\gamma^*$  только тех из них, для которых справедливо условие /2/, приведены в таблице для всех шести рассматриваемых интервалов энергии  $E_\gamma$ . Там же указаны соответствующие значения  $t_{\max}^*(E_\gamma)$ .

В каждом случае ливня измерялись в плоскости проекции снимка суммарные пробеги ливневых электронов /СП/,  $\Delta \Sigma r(E_\gamma, p, t) / \Delta p \Delta t$ , наблюдаемые в клетках растра с координатами  $(t, t + \Delta t)$  вдоль ОР и  $(p, p + \Delta p)$  перпендикулярно к ОР. Как было показано ранее /2/, оптимальными с точки зрения размеров и точности определения СП являются значения  $\Delta t = 2 \Delta p = 0,6$  рад.ед., при которых средняя относительная ошибка измерения СП составляет ~ 0,20.

Путем моделирования на ЭВМ каскадного электромагнитного процесса, инициированного ГК с энергией  $E_\gamma = 200 \div 3500$  МэВ, было установлено, что отношение средней величины ионизационных потерь энергии ливневых электронов /СИП/  $\Delta E(E_\gamma, p, t) / \Delta p \Delta t$ , выделяемой внутри параллелепипеда, проекцией которого на плоскость снимка является клетка растра площадью  $\Delta p \Delta t$ , к соответствующей величине СП есть постоянная величина  $\eta_{t,p}$  /с точностью до нескольких процентов/, не зависящая ни от  $E_\gamma$ , ни от координат  $(t, p)$ :

$$\frac{\Delta E(E_\gamma, p, t)}{\Delta t \Delta p} / \frac{\Delta \Sigma r(E_\gamma, p, t)}{\Delta t \Delta p} = \eta_{t,p} = \text{const.} \quad /3/$$

Расчеты были выполнены для  $\Delta t = 2 \Delta p = 0,6$  рад.ед. Численное значение коэффициента  $\eta_{t,p}$  совпадает со значением коэффициента  $\alpha$  в /1/, если учесть среднее увеличение следов ливневых электронов в проекции экрана. Вопросы моделирования отношения /3/ описаны в /2/.

### 3. ФЛУКТУАЦИИ ПРОДОЛЬНОГО РАЗВИТИЯ ЭФЛ

В качестве величины, характеризующей флюктуации продольного развития ЭФЛ, целесообразно взять, как в наших более ранних работах /5/, вариацию  $\sigma_A(\bar{t}_A)/A$  доли A ионизационных потерь на глубине  $\bar{t}_A$  развития ливня, на которой выделяется в среднем в виде ИП доля A полной энергии лавины. При определении энергии ГК по создаваемым ими ливням именно эта величина играет основную роль /например, /6/ /.

На рис. 1 представлена зависимость вариации  $\sigma_A(\bar{t}_A)/A$  от A для шести значений энергии  $E_\gamma$  ГК, инициирующих лавины. Можно заметить, что при достигнутой точности эксперимента функция  $\sigma_A(\bar{t}_A) = f(A)$  не проявляет зависимости от энергии ГК, в интервале  $E_\gamma = 200 \div 3500$  МэВ. Аналогичный результат был нами по-

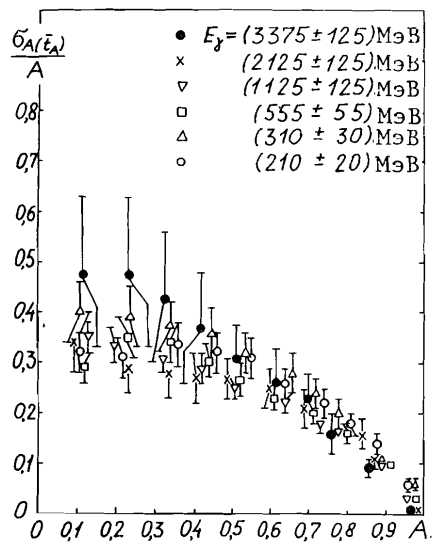


Рис. 1. Вариация  $\sigma_A(\bar{t}_A) / A$  доли A ионизационных потерь ливневых электронов, соответствующей длине развития ЭФЛ, на которой в среднем выделяется в виде ионизации доля A полной энергии лавины. Ливни вызваны гамма-квантами с энергией  $E_\gamma$  в жидким ксеноне. Длина t развития ЭФЛ измеряется вдоль оси ливня.

лучен ранее<sup>17/</sup> для интервала  $E_\gamma = 60 \div 3000$  МэВ. Зависимость  $\sigma_A(\bar{t}_A) / A$  от A аппроксимирована в интервале  $A \in [0,1; 0,95]$  функцией

$$\sigma_A(\bar{t}_A) / A = \left\{ \frac{1}{b} \ln \frac{a}{A(t)} \right\}^{1/2}, \quad /4/$$

где  $a = 1,02 \pm 1,3 \cdot 10^{-5} / E_\gamma$ ,  $b = 13,6 \pm 1,3$ ,

$$\bar{A}(t) = \frac{1}{E_\gamma} \int_0^t f_t(E_\gamma, \tau) d\tau;$$

$f_t$  - распределение СИП вдоль ОР<sup>1/2</sup>. Было также установлено, что величина энергии  $E(t) = A(t) \cdot E_\gamma$ , теряемой в виде ионизации ливневыми электронами в толщине t поглотителя, имеет нормальное распределение с параметрами

$$E(t) \sim N(\bar{E}(t); (\sigma_A \bar{E}(t))^2), \quad /5/$$

когда  $\bar{A}(t) \geq 0,5$ . Здесь  $\bar{E}(t) = \bar{A}(t) \cdot E_\gamma$ .

На рис. 2 показана зависимость среднеквадратичного разброса  $\sigma_t$  средней длины t развития ливней от энергии  $E_\gamma$  первичного ГК. Вариация этой величины,  $\sigma_t / \bar{t}$ , при разных значениях  $E_\gamma$  приведена на рис. 3. Полученные данные можно описать при помощи простых соотношений:

$$\sigma_t = a_t + b_t \cdot \ln E_\gamma, \quad /6/$$

$$a_t = -6,2 \pm 1,6 / \text{рад.ед.}, \quad b_t = 1,65 \pm 0,26, \quad \chi^2/4 = 1,5/4, \quad \text{и}$$

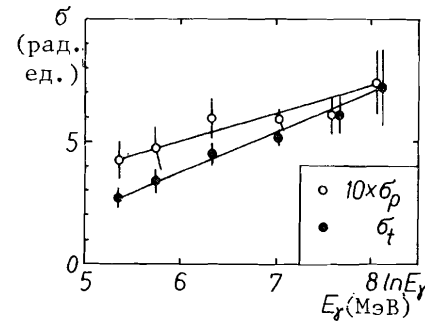


Рис. 2. Зависимость среднеквадратичного разброса средней длины t,  $\sigma_t$  и ширины p,  $\sigma_p$  развития ливней от энергии  $E_\gamma$  создающих их гамма-квантов. Прямыми линиями изображены соответствующие аппроксимирующие функции /7/ и /8/.

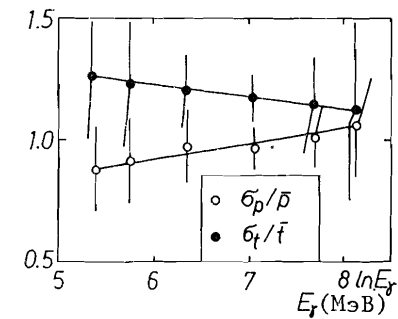


Рис. 3. То же, что на рис. 2, но для вариаций  $\sigma_t / \bar{t}$  и  $\sigma_p / \bar{p}$ . Аппроксимирующие функции определены формулами /7/ и /8/.

$$\sigma_t / \bar{t} = a_t + b_t \cdot \ln E_\gamma, \quad /7/$$

$$a_t = 1,53 \pm 0,73, \quad b_t = -0,05 \pm 0,11, \quad \chi^2/4 = 0,02/4, \quad E_\gamma \text{ выражено в МэВ.}$$

#### 4. ФЛУКТУАЦИИ ПОПЕРЕЧНОГО РАЗВИТИЯ

Аналогично, как в случае продольного развития ливней, флюктуации поперечного распределения ионизационных потерь электронов лавины описываются нами посредством зависимости от A вариации  $\sigma_A(\bar{p}_A) / A$  доли A ИП в слое поглотителя толщиной 2p, в котором в среднем выделяется доля A суммарных ИП лавины. Стенки этого слоя параллельны ОР и расположены по разные стороны от нее на расстоянии p. Зависимость  $\sigma_A(\bar{p}_A) / A$  от A приведена на рис. 4.

Можно заметить, что вариация  $\sigma_A(\bar{p}_A) / A$  постоянна при данной энергии  $E_\gamma$  в интервале значений  $0,1 \leq A \leq 0,65$  и при увеличении до A быстро убывает. Но в отличие от  $\sigma_A(\bar{t}_A) / A$  вариация поперечного развития ливней сильно зависит от энергии  $E_\gamma$  вызывающих их ГК: с ростом  $E_\gamma$  лавины становятся относительно все более компактными по своим поперечным размерам.

На рис. 2 и 3 изображена зависимость от энергии  $E_\gamma$  среднеквадратичного разброса  $\sigma_p$  и вариации  $\sigma_p / \bar{p}$  ширины слоя поглоти-

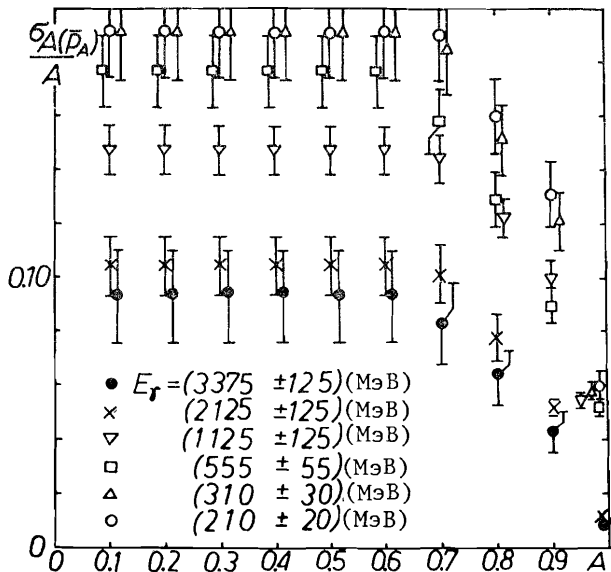


Рис. 4. То же, что на рис. 1, но для поперечного развития ЭФЛ.

теля, внутри которого выделяется в среднем доля  $A$  суммарных ИП лавин соответственно. Аппроксимирующие эти данные функции таковы:

$$\sigma_p = a_p + b_p \cdot \ln E_\gamma, \quad /8/$$

$$a_p = -0,17 \pm 0,24 / \text{рад.ед.}, \quad b_p = 0,112 \pm 0,036, \quad \chi^2_4 / 4 = 2,3/4, \text{ и}$$

$$\sigma_p / \bar{p} = a_p + \beta_p \cdot \ln E_\gamma, \quad /9/$$

$$a_p = 0,53 \pm 0,48, \quad \beta_p = 0,065 \pm 0,070, \quad \chi^2_4 / 4 = 0,1/4, \quad E_\gamma \text{ выражено в МэВ.}$$

## 5. ВЫВОДЫ

В результате проведенного исследования ионизационных потерь энергии в электронно-фотонных ливнях, вызванных гамма-квантами с энергией  $E_\gamma = 200 \div 3500$  МэВ в жидким ксеноне, можно сделать следующие выводы:

1. Вариация  $\sigma_A(\bar{p}_A)/A$  доли  $A$  ионизационных потерь энергии ливневых электронов, измеряемой вдоль оси ливня, не зависит от  $E_\gamma$  и монотонно убывает с ростом  $A$  от  $\sim 0,4$  при  $A=0,1$  до 0 при  $A=1$  /рис. 1/.

2. Вариация  $\sigma_A(\bar{p}_A)/A$  доли  $A$  ионизационных потерь энергии ливневых электронов, измеряемой в направлении, перпендикулярном к оси ливня, существенно зависит от энергии  $E_\gamma$ , но при каждом значении  $E_\gamma$  она сохраняет постоянное значение в интервале  $E_\gamma = 0,1 \div 0,65$  /рис. 4/. Качественно это означает, что с ростом энергии  $E_\gamma$  поперечные размеры слоя поглотителя, внутри которого выделяется в виде ионизационных потерь определенная доля  $A$  энергии ливня, становятся все более четкими при всех значениях  $A$ .

3. Среднеквадратичный разброс  $\sigma_t$  средней длины развития ливня растет с  $E_\gamma$  как  $\ln E_\gamma$  /формула /6/, рис. 2/. Аналогичный рост с  $E_\gamma$  наблюдается также в случае среднеквадратичного разброса  $\sigma_p$  средней ширины ливня, однако отношение  $\sigma_p / \sigma_t$  по порядку величины равно  $\sim 0,1$  и убывает с увеличением  $E_\gamma$  /рис. 5/.

4. Вариация  $\sigma_t / \bar{t}$  средних продольных размеров ливней убывает с  $E_\gamma$  //рис. 3/, формула //7//, в то время как аналогичная величина,  $\sigma_p / \bar{p}$ , характеризующая статистическую изменяемость средних поперечных размеров ливней, увеличивается с возрастанием  $E_\gamma$  /рис. 3 формула //9//.

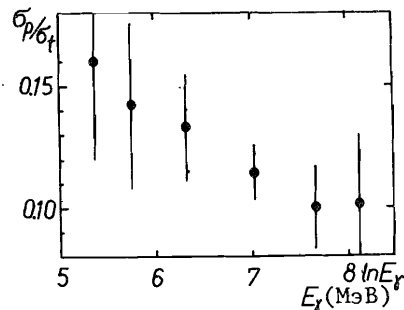


Рис. 5. Отношение среднеквадратичного рассеяния поперечных  $/\sigma_p/$  и продольных  $/\sigma_t/$  размеров ливней, вызванных гамма-квантами с энергией  $E_\gamma = 200 \div 3500$  МэВ.

В заключение авторы выражают свою признательность директору ЛВТА профессору М.Г.Мещерякову за интерес к работе и поддержку, а также Л.Н.Голубевой и З.Лонцкой за помощь при измерениях и кодировании экспериментальных данных.

## ЛИТЕРАТУРА

- Кузнецов Е.В. и др. - ПТЭ, 1970, 2, с.56.
- Словинский Б. и др. - ОИЯИ, Р1-86-809, Дубна, 1986.
- Коновалова Л.П. и др. - ОИЯИ, Р-700, Дубна, 1961; ПТЭ, 1961, 6, с.261.
- Борковский М.Я., Круглов С.П. - Препринт ЛИЯФ АН СССР, №184, Л., 1975.
- Słowiński B. et al. - JINR, E1-84-418, Dubna, 1984.
- Czyżewski O. et al. - Acta Phys. Polon., 1963, Vol.24, p.509.
- Словинский Б. ОИЯИ, Р1-11890, Дубна, 1978.

Рукопись поступила в издательский отдел  
16 декабря 1986 года.

**НЕТ ЛИ ПРОБЕЛОВ В ВАШЕЙ БИБЛИОТЕКЕ?**

Вы можете получить по почте перечисленные ниже книги,  
если они не были заказаны ранее.

Д2-82-568	Труды совещания по исследованиям в области релятивистской ядерной физики. Дубна, 1982.	1 р. 75 к.
Д9-82-664	Труды совещания по коллективным методам ускорения. Дубна, 1982.	3 р. 30 к.
Д3,4-82-704	Труды IV Международной школы по нейтронной физике. Дубна, 1982.	5 р. 00 к.
Д11-83-511	Труды совещания по системам и методам аналитических вычислений на ЭВМ и их применению в теоретической физике. Дубна, 1982.	2 р. 50 к.
Д7-83-644	Труды Международной школы-семинара по физике тяжелых ионов. Алушта, 1983.	6 р. 55 к.
Д2,13-83-689	Труды рабочего совещания по проблемам излучения и детектирования гравитационных волн. Дубна, 1983.	2 р. 00 к.
Д13-84-63	Труды XI Международного симпозиума по ядерной электронике. Братислава, Чехословакия, 1983.	4 р. 50 к.
Д2-84-366	Труды 7 Международного совещания по проблемам квантовой теории поля. Алушта, 1984.	4 р. 30 к.
Д1,2-84-599	Труды VII Международного семинара по проблемам физики высоких энергий. Дубна, 1984.	5 р. 50 к.
Д17-84-850	Труды Ш Международного симпозиума по избранным проблемам статистической механики. Дубна, 1984. /2 тома/	7 р. 75 к.
Д10,11-84-818	Труды V Международного совещания по проблемам математического моделирования, программированию и математическим методам решения физических задач. Дубна, 1983	3 р. 50 к.
	Труды IX Всесоюзного совещания по ускорителям заряженных частиц. Дубна, 1984 /2 тома/	13 р. 50 к.
Д4-85-851	Труды Международной школы по структуре ядра. Алушта, 1985.	3 р. 75 к.
Д11-85-791	Труды Международного совещания по аналитическим вычислениям на ЭВМ и их применению в теоретической физике. Дубна, 1985.	4 р.
Д13-85-793	Труды ХП Международного симпозиума по ядерной электронике. Дубна 1985.	4 р. 80 к.

Заказы на упомянутые книги могут быть направлены по адресу:  
101000 Москва, Главпочтamt, п/я 79  
Издательский отдел Объединенного института ядерных исследований

Словинский Б. и др.  
Флуктуации ионизационных потерь  
в электронно-фотонных ливнях, вызванных  
гамма-квантами с энергией  $E_y = 200 \div 3500$  МэВ

P1-86-811

На снимках 180 л ксеноновой пузырьковой камеры ИТЭФ/Москва/, облученной  $\pi^-$ -мезонами с импульсом 3,5 ГэВ/с, измерены ионизационные потери энергии электронов и позитронов /ИП/ в электронно-фотонных ливнях /ЭФЛ/, вызванных гамма-квантами с энергией  $E_y = 200 \div 3500$  МэВ. Получены оценки величин, характеризующих флуктуации размеров ЭФЛ: вариация доли ИП вдоль и перпендикулярно оси ливня, среднеквадратичный разброс и вариации средней длины и ширины развития ливня.

Работа выполнена в Лаборатории вычислительной техники и автоматизации ОИЯИ и в Институте физики Варшавского политехнического института.

Сообщение Объединенного института ядерных исследований. Дубна 1986

Перевод О.С.Виноградовой

Slowiński B. et al. P1-86-811  
Fluctuations of Ionization Losses in Electromagnetic Showers Created by Gamma-Quanta with the  $E_y = 200 \div 3500$  MeV Energy

Using pictures of the 180 liter xenon bubble chamber (ITEP, Moscow) irradiated by the mesons at 3.5 GeV/c ionization energy losses (IL) of electrons and positrons in electromagnetic showers produced by gamma-quanta with the  $E_y = 200 \div 3500$  MeV energy has been measured. Estimations of quantities describing fluctuations of shower dimensions such as variation coefficient of a part of IL along and perpendicular to the shower axis, root mean square, and variation of average longitudinal and transversal shower dimensions are obtained.

The investigation has been performed at the Laboratory of Computing Techniques and Automation, JINR and at the Institute of Physics of the Warsaw Technical University.

Communication of the Joint Institute for Nuclear Research. Dubna 1986